

Ю.А. Фомин, Е.Е. Лазаренко

Институт геохимии окружающей среды НАН и МЧС Украины

Светлой памяти
Владимира Степановича Мельникова
посвящается

ЩЕЛОЧНЫЕ ПОЛЕВЫЕ ШПАТЫ УРАНОНОСНЫХ АЛЬБИТИТОВ ЦЕНТРАЛЬНОЙ ЧАСТИ УКРАИНСКОГО ЩИТА

Приведены результаты минералого-петрографических, петро-геохимических, рентгеноструктурных, изотопных и термобарогеохимических исследований полевых шпатов Севериновского и Ватутинского месторождений урановорудных альбититов. Рассмотрена эволюция этих минералов в ряду Na-Ca плагиоклазы (+ортоклаз) — микроклин — альбит в температурных условиях от 730–630 до 260–240° С.

Введение

Несмотря на то, что альбититы, как и вмещающие их породы, практически всех урановых месторождений Украинского щита на 55–95% состоят из полевых шпатов, а может быть именно в силу данного обстоятельства, детальному исследованию указанных минералов до сих пор уделено явно недостаточное внимание. В лучшем случае указывается их состав и некоторые петрографические особенности [1]. Причина отсутствия должного внимания, возможно, кроется в том, что в основе всех существующих систематик ураноносных альбититов положены темноцветные и (или) рудные минералы. Между тем, использование полевых шпатов в системе олигоклаз — калиевые полевые шпаты — альбит может дать ценный индикаторный материал для расшифровки особенностей генезиса этих уникальных образований [2, 3]. Важнейшее генетическое значение, в частности, имеет изучение структурных параметров минералов данной группы, отражающее зависимость процессов эксолюции (распада твердых растворов) в них, а также упорядочения и двойникования от температуры, скорости охлаждения системы, состава среды [4, 5].

Настоящая статья посвящена комплексной характеристике щелочных полевых шпатов ураноносных альбититов. В дополнение к ранее опубликованным изотопным и термобарогеохимическим данным [3, 6] приведены результаты петрографического, петрохимического, геохимического и рентгено-структурного исследования.

Геологическая ситуация. Объекты исследований — Севериновское и Ватутинское месторождения приурочены к Кировоградской и Звенигородско-Анновской тектонометасоматическим зонам [1]. Эти зоны обрамляют соответственно с востока и запада купольные структуры центральной части Кировоградского блока, сложенные гранитными массивами кировоградского комплекса — Новоукраинским, Кировоградским и другими.

Севериновское месторождение расположено в пределах существенно мигматитовой толщи, или «толщи частого переслаивания» мигматитов и гранитов, вблизи контакта последней с Леликовским массивом гранитов, в лежачем боку Севериновского тектонического шва Кировоградской зоны разлома.

В составе рудовмещающей толщи преобладают биотитовые мигматиты очковые (порфиробластические) или теневые (линзовидно-полосчатые) с подчиненным количеством аплит-пегматоидной лейкосомы и небольшими останцами гнейсов. Мощные тела биотитовых гранитов или прослои гнейсов редки. Среди гнейсов, относимых к ингуло-ингулецкой серии, преобладают биотитовые разности, реже встречаются амфибол-пироксеновые, кордиеритовые, гранат- и графитсодержащие. Вмещающие породы подвержены кремне-калиевому метасоматозу, проявленному в виде широких ореолов микроклинизации или узких линейных кварц-микроклиновых зон пегматоидного облика.

Структурную основу месторождения составляют сложно построенные кулисообразные зоны объемного катаклиза и милонитизации, которые являются послойными или остро секущими по отношению к вмещающим породам. В них широко развит диафторез. Ураноносные альбититы (эпидот-хлоритовые и эгирин-рибекитовые) в целом унаследуют как выше описанные структуры, так и морфологию и текстурно-структурные особенности тектонитов, хотя иногда они выходят за пределы ореолов диафтореза, развиваясь непосредственно по ультратемпературным породам. Прожилково-вкрашенная урановая минерализация (броннерит, уранинит, настуран, коффинит) связана преимущественно с гематит-карбонат-флогопитовыми, реже с рибекит-содержащими альбититами.

Батутинское месторождение приурочено к лежачему боку Восточно-Курниковского разлома, который трассируется дайкой микрограно-диоритов в участке пересечения им «горизонтатонкослоистых мигматитов» в западном крыле Березовской брахиантеклиниали. Фактически разрез рудовмещающего горизонта представлен переслаиванием биотитовых мигматитов, в основном теневых (полосчатых), и разделяющих их аплито-пегматоидных биотитовых гранитов. Породы висячего бока отличаются менее интенсивным проявлением ультратемпературного физизма, здесь в составе указанного горизонта присутствуют также полосы гнейсов хорошей сохранности того же стратиграфического уровня, что и на Севериновском месторождении. Среди гнейсов преобладают биотитовые графитсодержащие разновидности, реже встречаются биотит-гиперстеновые. Микроклиниты развиты неравномерно, с ними связано и частичное перераспределение кварца.

В условиях гетерогенности вмещающих пород разлом трансформировался в сеть ветвящихся субсогласных или остросекущих по отношению к вмещающим породам трещинно-катастических структур и зон объемного катаклиза, которые объединяются в единую сложно построенную структуру общим близмеридиональным простиранием, проявлением диафтореза и наложенной альбитизации. Альбититы представлены эпидот-хлоритовыми и эгирин-щелочноамфиболовыми разностями, их различие определяется исключительно тем, подверглась ли порода дометасоматическому диафторезу или нет. Широко развиты также продукты частичного замещения внешних частей ореолов, представленные эпидот-хлоритовыми и эгирин-рибекитовыми «сиенитами». Урановая минерализация прожилково-вкрашенного типа (уранинит, броннерит, реже ненадкевит, настуран и др.) связана с альбит-родусит-каросит-акмитовыми и альбит-кальцит-биотит-флогопитовыми альбититами.

Вещественный состав альбититов. Исходными на обоих объектах являются породы ряда: гнейсы — мигматиты — граниты, среди которых наиболее распространены (и изучены) биотитовые плагиомигматиты и лейкократовые биотитовые плагиоклаз-микроклиновые (+ортоклаз) граниты, часто пегматоидные. Салические минералы представлены кварцем, плагиоклазом (олигоклазом) и щелочными полевыми шпатами; главным фемическим минералом является биотит, значительно реже встречаются амфибол и клино- и ортопироксены. В качестве примесей отметим кордиерит, гранат, графит, присутствие которых косвенно указывает на первично терригенно-осадочную природу субстрата. Аксессорные минералы — апатит, циркон, сфен, монацит, турмалин.

Исходные породы претерпели различные преобразования, из которых важнейшую роль играли ранняя микроклинизация, известная на всех щитах как «калиевый взрыв» [7], диафторез, проявившийся одновременно с хрупкими деформациями на этапе регрессивного дислокационного метаморфизма в ходе термической усадки массивов гранитоидов, т.е. в процессе их остывания [8], и, наконец, щелочной метасоматоз (табл. 1).

Микроклинизация (вплоть до образования микроклинитов) проявляется очень широко и, как правило, без существенных изменений текстурно-структурных особенностей пород. Олигоклаз (и ортоклаз) гранитов и мигматитов метасоматически (псевдоморфно) замещаются микроклином. Иногда отмечается перекристаллизация кварца и биотита. В ряде случаев биотит на границе с микроклином замещается мусковитом.

Диафторез, будучи более поздним процессом, проявлен характерными вторичными минералами — кальциевыми (эпидот, клиноцизит, кальцит) и магниевыми (хлорит). В

катаkläзованных разностях пород в процессе диафтореза происходит деанортитизация и карбонатизация плагиоклаза, перекристаллизация кварца, псевдоморфное замещение биотита хлоритом (пеннин), гематитом, тонкозернистым, землистым эпидотом и лейкоксеном. Микроклин и олигоклаз в случае усиления процесса подвергаются хрупким деформациям, сохраняясь в виде реликтов. В милонитовых швах наряду с тонкоперетертой кварц-полевошпатовой массой отмечается мелкозернистый агрегат эпидота-клиноцизита, хлорит и наложенный кальцит. Содержание кальцита в зонах диафтореза крайне неравномерное. Постоянной примесью в них является также пирит иногда в ассоциации с халькопиритом.

Таблица 1. Минеральные ассоциации исходных и измененных пород альбититовых месторождений.

| № п/п | Породы | Минеральные ассоциации | Минералы-примеси |
|-------|--|--|--------------------------------|
| 1 | Гнейсы, граниты плагиомигматиты | Кварц, олигоклаз, биотит | Ортоклаз, андезин |
| 2 | Микроклиниты | Кварц, микроклин, биотит | |
| 3 | Диафториты | Кварц, альбит-олигоклаз, эпидот, клиноцизит, хлорит (пеннин), карбонат (кальцит) | Пирит, микроклин реликтовый |
| 4 | Альбититы ранние | Альбит-1, шахматный альбит, эгирин, рибекит, эпидот, хлорит (рипидолит) | Кварц реликтовый |
| 5 | Альбититы рудные (продуктивная ассоциация) | Альбит-2, кварц, лепидомелан (феррибиотит), анкерит, гематит, пирит, браннерит, уранинит | Кварц новообразованный |
| 6 | Пострудные жилы | Кварц, кальцит, пирит, хлорит, гидрослюдя | |

Минеральный состав альбититов указывает на разную степень интенсивности и завершенности щелочного метасоматоза, но, прежде всего, зависит от состава субстрата, в частности, от совмещения или некоторого пространственного разобщения их с ореолами микроклинитов и диафторитов. Ранние альбититы, наряду с магниево-железистым комплексом минералов, унаследованным от диафторитов (эпидот, хлорит), содержат новообразованные щелочные амфибол и пироксен. Микроклин замещается альбитом, сохраняя структуру двойниковой решетки (шахматный альбит), олигоклаз-альбит полностью трансформируется в альбит. Кварц на начальных ступенях процесса не обнаруживает растворения и перекристаллизации, но в полно проявленных альбититах сохраняется лишь в виде реликтов.

Рудные альбититы метасоматически развиваются по ранним щелочным метасоматитам, отделяясь от последних локальным катаклазом, обычно проявленном на микроволне, т.е. является по отношению к ним более поздними и притом продуктивными. В составе рудных ассоциаций отмечаются альбит-2 (лейстовидный полисинтетически сдвойникованный или тонкозернистый без двойников), новообразованный кварц и группа железосодержащих минералов — феррибиотит, анкерит (или железистый кальцит), гематит, пирит. С ними связана прожилково-вкрашенная урановая минерализация.

Таблица 2. Севериновское месторождение урана. Петро-геохимическая зональность

| Элемент | 1 (77) | 2 (167) | 3 (145) | 4 (142) | 5 (159) | 6 (25) | 7 (141) |
|--------------------------------|--------|---------|---------|---------|---------|--------|---------|
| SiO ₂ | 65,88 | 65,76 | 64,18 | 61,36 | 61,84 | 58,48 | 57,50 |
| TiO ₂ | 0,55 | 0,27 | 0,50 | 0,12 | 0,30 | 0,12 | 0,67 |
| Al ₂ O ₃ | 14,27 | 16,13 | 16,29 | 16,56 | 17,76 | 14,36 | 14,74 |
| Fe ₂ O ₃ | 1,27 | 1,61 | 3,84 | 1,57 | 2,52 | 1,53 | 3,67 |
| FeO | 4,63 | 4,04 | 2,17 | 1,01 | 1,16 | 0,58 | 1,10 |

| Элемент | 1 (77) | 2 (167) | 3 (145) | 4 (142) | 5 (159) | 6 (25) | 7 (141) |
|-------------------------------|--------|---------|---------|----------|---------|--------|---------|
| MnO | 0,17 | 0,16 | 0,10 | 0,08 | 0,12 | 0,06 | 0,11 |
| MgO | 1,80 | 1,93 | 1,80 | 2,00 | 1,42 | 0,40 | 1,20 |
| CaO | 2,55 | 1,47 | 1,08 | 3,21 | 3,03 | 8,40 | 4,83 |
| Na ₂ O | 4,05 | 4,22 | 7,30 | 9,60 | 9,13 | 9,25 | 9,35 |
| K ₂ O | 3,05 | 2,23 | 0,88 | 0,20 | 0,50 | 0,20 | 0,36 |
| V ₂ O ₅ | 0,01 | 0,01 | 0,02 | 0,02 | 0,01 | сл | 0,01 |
| ZrO ₂ | 0,03 | 0,02 | 0,06 | 0,05 | 0,03 | 0,14 | 0,14 |
| P ₂ O ₅ | 0,17 | 0,13 | 0,22 | 0,40 | 0,04 | 0,18 | 0,37 |
| CO ₂ | 0,60 | 0,83 | 1,67 | 3,59 | 2,79 | 0,43 | 4,59 |
| S | 0,06 | 0,06 | 0,13 | 0,02 | 0,24 | 0,05 | 0,02 |
| П.п.п | 0,54 | 1,56 | 0,84 | 0,96 | 0,88 | 1,42 | 1,62 |
| Сумма | 99,63 | 100,43 | 101,08 | 100,75 | 101,57 | 95,60 | 100,28 |
| Плотность | 2,64 | 2,69 | 2,65 | 2,58 | 2,50 | 2,63 | 2,64 |
| U | 2 | 4 | 20 | 128-205 | 280 | 540 | 6059 |
| Th | 32 | 26 | 24 | 13-15 | 22 | 33 | 45 |
| Pb | 10 | 10 | 40 | 72 | 200 | 200 | 2000 |
| Pb ²⁰⁸ | 52,53 | 48,24 | 32,99 | 5,20 | 5,20 | 5,86 | 2,06 |
| Pb ²⁰⁷ | 20,16 | 17,33 | 13,86 | 8,86 | 10,67 | 10,59 | 7,95 |
| Pb ²⁰⁶ | 25,82 | 33,28 | 51,77 | 85,42 | 83,66 | 83,06 | 89,15 |
| Pb ²⁰⁴ | 1,49 | 1,15 | 1,38 | 0,53 | 0,47 | 0,50 | 0,84 |
| Ba | 100 | 30 | 200 | 30-50 | 30 | 100 | 30 |
| Sr | 10 | 30 | 30 | 50-100 | 50 | 300 | 1000 |
| Mn | 500 | 200 | 200 | 400-1000 | 200 | 60 | 500 |
| Cr | 1000 | 1000 | 400 | 400-2000 | 300 | 300 | 200 |
| Ti | 2000 | 2000 | 2000 | 200-700 | 2000 | 500 | 3000 |
| V | 300 | 200 | 1000 | 100 | 100 | 100 | 100 |
| Ni | 200 | 200 | 70 | 60-400 | 60 | 50 | 100 |
| Co | 20 | 20 | 30 | 10 | 50 | сл | 30 |
| Cu | 10 | 20 | 20 | 5-20 | 10 | 5 | 200 |
| Mo | 20 | 10 | 3 | 0-50 | 3 | — | — |
| Zn | 100 | 200 | 200 | сл | 100 | — | 100 |
| Zr | 50 | 100 | 50 | 50-100 | 30 | 200 | 300 |
| Be | 6 | 3 | 3 | 10 | — | — | 3 |

Примечание. 1 — мигматит биотитовый; 2 — диафторит по мигматиту; 3 — альбитизированный (ощелоченный) диафторит апомигматитовый; 4 — альбитит слаборудный рибекитовый с анкеритом и гематитом; 5 — альбитит слаборудный эгириновый с анкеритом и гематитом; 6 — альбитит рудный лейкократовый с гематитом и анкеритом; 7 — альбитит рудный гематит-анкерит-лепидомелановый с эпидотом и рибекитом. В скобках указаны номера образцов. Содержание петрогенных окислов дано в вес. %, урана и элементов-примесей в г/т, изотопов свинца в %.

Метасоматическая зональность, крайне неотчетливая, определяется соотношением и интенсивностью проявления в пространстве перечисленных минеральных ассоциаций. Поздняя продуктивная ассоциация слагает преимущественно центральные части ореолов. В случае слабой альбитизации диафторитов в них могут наблюдаться хлорит, эпидот и гематит как диафторитовой, так и первой щелочно-метасоматической ассоциаций. Так называемые «сиенитоподобные» породы внешних зон образуются в условиях щелочного метасоматоза микроклинитов.

Петро- и геохимический модельный разрез Севериновского месторождения (табл. 2), являющийся типичным для урановых месторождений альбититовой формации, отчетливо демонстрирует урановорудный (практически без тория) натриево-карбонатный метасоматический процесс, подтверждая приведенную выше последовательную смену минеральных парагенезисов (табл. 1). Накопление урана сопровождается увеличением радиогенного свинца (Pb^{206}), натрия, двуокиси углерода и стронция. При этом максимальное количество натрия установлено в альбититах слаборудных, а двуокиси углерода и стронция в промышленных рудах с максимальным содержанием урана и интенсивным проявлением продуктивной минеральной ассоциации. С рудной ассоциацией связана также повышенная концентрация титана, окисного железа и кальция.

Петрографические особенности полевых шпатов. Полевые шпата на изученных месторождениях представлены Na-Са плагиоклазами, микроклином и альбитом.

Среди плагиоклазов различаются зональный андезин (до № 50) и гомогенный олигоклаз (№ 25). Зональный андезин образует идиоморфные выделения в виде прямоугольных табличек, реже неправильной формы зерна. Зональность прямая, лучше проявлена в крупных таблицах: центральная, более основная часть кристаллов замещается гидрослюдой, кальцитом и эпидотом; внешняя зона более кислая, в шлифах светлая. На плоскости (010) угол погасания в центре кристаллов $5-7^\circ$, по краям — 14° . Олигоклаз (олигоклаз-альбит), по сравнению с андезином, более поздний, образует идиоморфные тонко сдвойниковые кристаллы или каймы на раннем андезите. Реже встречаются мелкие неправильной формы зерна и их агрегаты. В кислом плагиоклазе на границе с микроклином обнаружены мирамелитовые вrostки кварца. Отдельные таблички олигоклаза с извилистыми краями замещаются в центре мелкими лейстами слюды, значительная часть которых ориентирована вдоль двойниковых швов. В тектоно-метасоматических зонах и вблизи них олигоклаз изоморфно замещается альбитом.

В микроклин-микропертите в сечении (001) наблюдаются тонкие линейные перитты распада. Встречаются зерна щелочного полевого шпата, в которых перитты сегрегированы в широкие выделения альбита вдоль оси [010]. Иногда они переходят в параллельные таблички, вытянутые в [100]. Угол погасания периттов в плоскости (010) $15-18^\circ$, что соответствует чистому альбиту. Наряду с линейными формами периттов наблюдается эмульсионная вкрапленность альбита, причем, нередко «эмulsion» альбита заполняет промежутки между линейными периттами. Иногда пластинки периттов соединяются перемычками. В некоторых шлифах для широких протяженных по (001) полосок предполагается замещение альбитом реликтов раннего ортоклаза.

Двойниковая структура микроклина представлена практически всеми морфологическими разновидностями. Преобладает А-структура — двойникование по альбитовому закону по (010). Часто структура не уравновешена, вплоть до монодоменной без проявления Р-структурой (двойникование по периклиновому закону).

Твид-ортоклаз, характеризующийся наличием субмикроскопических частиц триклиновой упорядоченности в моноклинной матрице, сохраняется в виде небольших реликтовых участков, но чаще входит в шахматную структуру, которая наблюдается фрагментарно на участках А/Р структуры с альбит-периклиновым двойникованием. В щелочных полевых шпатах такая структура возникает при инверсии из моноклинной симметрии в триклиническую [4]. Вообще изучение шлифов показывает, что двойниковая структура крайне неоднородна. Наряду с крупными широкими двойниковыми доменами в А- и Р-ориентации в решетчатом микроклине некоторых образцов присутствует (как бы сохраняется) мелкая шахматная структура. Иногда неоднородность двойникования проявляется в виде зональности: центр кристалла без двойников (монодомен), по краям — крупная шахматная структура.

Калиевый полевой шпат также встречается в виде прозрачных ксеноморфных зерен, без двойников и периттов. Такие выделения похожи на адуляр и относятся, по-видимому, к наиболее поздней (посткатастической) генерации. Часто ему сопутствует сильно деформированный (мозаичный) кварц и поздний альбит. Образование чистого

микроклина (в сочетании с чистым альбитом) может быть связано с сегрегацией мелких микропертитов и с их укрупнением (трансформацией пертитов), причем благоприятными условиями для этого процесса является длительное присутствие в минералообразующей системе водного флюида. В условиях «сухой» системы пертиты обычно сохраняют морфологические особенности, присущие ранним стадиям их эволюции [5].

Альбит, помимо выше описанных пертитовых выделений, образует метасоматические образования, развитые как по микроклину, так и, особенно широко, по плагиоклазам (олигоклазу). Морфологически такой альбит весьма разнообразен. При замещении микроклин-микропертита, он имеет такую же ориентацию, как и удлиненные выделения альбита в калиевом полевом шпата. В этом случае развитие метасоматического альбита, вероятно, изначально связано с сегрегированными пертитами. В участках интенсивной альбитизации микроклин-микропертит преобразован в шахматный альбит. Процесс этот представляется затруднительным, в сравнении с раскислением олигоклаза. При псевдоморфном замещении плагиоклазов формируется крупнокристаллический таблитчатый альбит (альбит-1), форма и структура которого соответствует олигоклазу. В участках внутриальбититового катаклаза происходило образование мелкозернистого альбита (альбита-2) как в виде изометричных, в основном несдвойниковых, зерен, так и лейстовидного (рекристаллизованного) и обычно полисинтетически сдвойникованного. Именно с мелкозернистым альбитом связан адуляроподобный калиевый полевой шпат.

Фазовый состав и структурное состояние калишпата определены на основе рентгеноструктурных исследований щелочных полевых шпатов (34 образца, табл. 3, рис. 1), характеризующих интервал глубин от 125 до 1893 м.

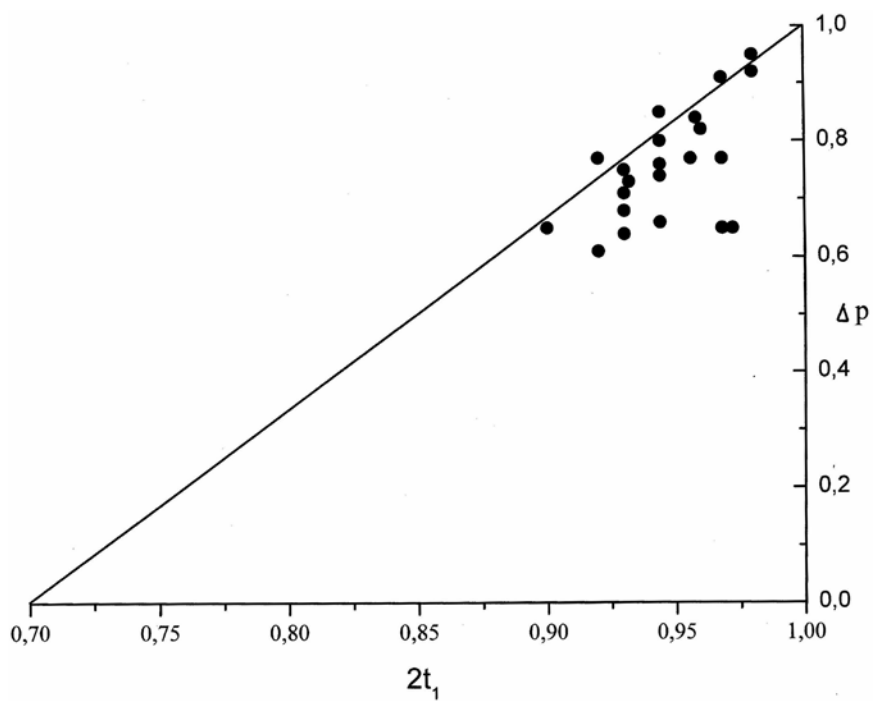


Рис. 1. Диаграмма $\Delta p - 2t_1$ (триклинность — упорядоченность) щелочных полевых шпатов Севериновского и Мичуринского месторождений урана альбититовой формации. Кироградский мегаблок.

Приведенная диаграмма наглядно демонстрирует принадлежность всех изученных образцов калиевого полевого шпата к максимальному микроклину с высокими значениями Al/Si-упорядоченности [4]. Наличие участков субмикроскопического двойникования проявляется на диаграмме $\Delta p - 2t_1$ в смещении фигуративных точек с линии равновесного упорядочения.

Таблица 3. Фазовый состав и структурные параметры микроклина

| № образца | Глубина, м | Ab, % | Mф, % | Δр | 2t ₁ | Примечание |
|------------------------------------|------------|-------|-------|--------------|-----------------|-------------------------------------|
| Севериновское месторождение | | | | | | |
| 266 | 125 | 25 | <10 | 0,91 | 0,968 | Пегматоидный гранит |
| 270 | 146 | 100 | — | — | — | Альбитит слаборудный |
| 84 | 167 | 23 | 0 | 0,92 | 0,980 | Пегматоидный гранит |
| 161 | 530 | 26 | ~15 | 0,71 | 0,930 | Мигматит, альбитизация |
| 167 | " | 13 | ~6 | 0,66 | 0,934 | Мигматит, диафторез |
| 121 | 566 | 100 | — | — | — | Альбитит безрудный |
| 122 | 601 | 100 | — | — | — | Альбитит безрудный |
| 12 | 620 | 100 | — | — | — | Гранит, альбитизация |
| 14 | " | 23 | 62 | 0,65 0,00 | 0,900 0,882 | Микроклинит по мигматиту с альбитом |
| 16 | " | 30 | ~20 | 0,75 | 0,930 | Микроклинит с альбитом |
| 18-1 | " | 25 | <10 | 0,85 | 0,944 | Мигматит микро-клинизированный |
| 18-2 | " | 22 | <10 | 0,80 | 0,944 | |
| 61 | " | 100 | — | — | — | Альбитит безрудный |
| 67 | " | 20 | 0 | 0,95 | 0,980 | Гранит с микроклином |
| 73 | " | 16 | 0 | 0,84 | 0,956 | Мигматит — микроклин |
| 124 | 697 | 17 | <10 | 0,82 | 0,960 | Мигматит — микроклин |
| 131 | 710 | 100 | — | — | — | Альбитит рудный |
| 220 | 1047 | 33 | <10 | 0,65 | 0,968 | Диафторит мигматита |
| 226 | 1255 | 15 | <10 | 0,65 | 0,972 | Мигматит, альбитизация |
| 258 | 1893 | 35 | <10 | 0,68 | 0,930 | Пегматоидный гранит |
| Ватутинское месторождение | | | | | | |
| 365 | 186 | 22 | <5 | 0,77 | 0,956 | Пегматоидный гранит |
| 315 | 259 | 27 | ~10 | 0,64 | 0,930 | Пегматоидный гранит |
| 290 | 280 | 100 | — | — | — | Альбитит безрудный |
| 305 | " | 100 | — | — | — | Альбитит слаборудный |
| 311 | " | 29 | ~10 | 0,61 | 0,920 | Пегматоидный гранит |
| 326 | 427 | 100 | — | — | — | Альбитит безрудный |
| 446 | 725 | 24 | <10 | 0,77 | 0,968 | Мигматит |
| 402 | 1015 | 10 | <10 | 0,73 | 0,932 | Лейкогранит |
| 403 | 1045 | 16 | <10 | 0,76 | 0,944 | Лейкогранит |
| 406 | 1122 | 27 | <10 | 0,77 | 0,920 | Пегматоидный гранит |
| 420 | 1335 | 100 | — | — | — | Альбитит безрудный |
| 425 | 1409 | 23 | ~15 | 0,74 | 0,944 | Пегматоидный гранит |
| 427 | 1454 | 100 | — | — | — | Пегматоид, альбитизация |

Примечание. Параметры калиевых полевых шпатов: содержание альбитовой (Ab, %) и моноклинной (Mф, %) фаз; Al/Si-упорядоченность (2t₁) и рентгеновская триклинистость (Δр) определены на дифрактометре ДРОН-2 с CuKα-излучением. Определения выполнены в лаборатории кристаллохимии структурного анализа ИГМР НАН Украины (зав. лабораторией В.С. Мельников).

Как видно из таблицы 3, содержание альбитовой фазы в микроклинах находится в пределах 13–33%. Согласно данным И.С. Усенко и др. [9], значения этого параметра 10–20% характерны для гранитоидов амфиболитовой фации. В условиях гранулитовой фации

метаморфизма содержание альбита в калиевых полевых шпатах возрастает до 30–35%. Так как в нашем случае содержание ортоклаза (Мф) в микроклин-биотитовых гранитах не превышает 15–20% (исключение составляет образец 14), они должны быть отнесены только к амфиболитовой фации. Повышенное же количество альбита в микроклинах (свыше 20%) вполне можно объяснить метасоматической альбитизацией последних. В то же время ориентация пертитов не указывает на метасоматоз — они не замещают микроклин по спайности (001).

Калиевая фаза щелочных полевых шпатов представлена в основном максимальным микроклином, для которого $\Delta p = 0,6–1,0$ и $2t_1 = 0,9–1,0$ (рис. 1). Пониженная триклиновость некоторых образцов, в частности №14 (табл. 3), может быть связана с присутствием в микроклине реликтов твид-ортоклаза, который, по сути, представляет собой метастабильную модификацию калиевого полевого шпата (ортоклаза), возникающую в ходе инверсии высокотемпературного моноклинного санидина в триклиновый микроклин. Для обозначения такой инверсии используется термин "кроссовер" (cross-over, Bown and Parsons). Твид-ортоклаз, подобно санидину, относится к моноклинной сингонии и, вместе с тем, обладает упорядоченностью триклинового микроклина, возможно, с хорошо выраженной двойниковой решеткой [4, 5]. Снижение триклиновости микроклина может сопровождаться увеличением содержания натриевого компонента [10]. Образец №14 как раз характеризуется повышенным количеством натрия.

Исследование калиевых полевых шпатов Новоконстантиновского месторождения [2], обнаружило тенденцию увеличения упорядочения микроклинов в рудных зонах от альбитизированных гранитов (в среднем 0,95) к микроклин-альбитовым метасоматитам (0,98). Причиной такой зональности считается длительное сосуществование минералов с рудным раствором. Действительно, скорость упорядочения микроклинов резко возрастает при наличии водного флюида, катализирующего перераспределение Al и Si путем образования «открытых» тетраэдров без кислорода, а также при увеличении щелочности среды [11].

Химический состав щелочных полевых шпатов. Судя по изученным 17 образцам (табл. 4), все полевые шпаты соответствуют ряду: ортоклазовый ($KAlSi_3O_8$) — альбитовый ($NaAlSi_3O_8$) минал, всегда с небольшой примесью анортита ($CaAl_2Si_2O_8$).

Исключение составляет образец 481, отнесенный нами к альбитизированному олигоклазу в составе мигматита с заметными признаками катаклаза и диафтореза, в котором содержание анортитового минала составляет 16,2%. Повышенное количество ортоклазовой молекулы (10,6%), несвойственное чистому олигоклазу [10], объясняется присутствием в плагиоклазе включений калиевого полевого шпата.

Для микроклина отчетливо проявляется различие состава в зависимости от вмещающего эдукта — гранитного либо мигматитового. В микроклине пегматоидных гранитов выше содержание альбитовой молекулы (29,0–35,4%) и соответственно ниже — ортоклазовой (62,8–68,3%). Микроклин мигматитов существенно обеднен натрием до 15,7–19,8% и обогащен калием (79,1–79,3%). Интересно отметить, что альбитизация увеличивает общее содержание альбита в породе, практически не изменяя его количество в микроклине. Содержание анортитовой молекулы в микроклине гранитов составляет 0,8–3,2%, тогда как в микроклине мигматитов оно достигает 5,0%. В среднем, без учета интенсивности проявления ультраметаморфизма, изученные микроклины по соотношению ортоклазового, альбитового и анортитового миналов близки к щелочным полевым шпатам гранитоидов кировоградского типа, представленным в работе [9].

В метасоматическом альбите альбититов содержание анортитового минала выше, чем в микроклине — 1,9–12,5%, причем сохраняется различие по анортитовой составляющей альбитов в гранитном и мигматитовом эдукте: 1,9–5,0 и 6,0–12,5% соответственно. Содержание ортоклазового минала в таком альбите не превышает 1,7%; относительно выше оно в апагранитных альбититах (0,6–1,7%), систематически ниже — в альбититах апомигматитовых (0,5–1,0%). Распределение альбитовой молекулы в зависимости от

эдукта, естественно, противоположно: в апогранитных альбититах ее доля в альбите составляет 93,3–97,1%, в альбититах апомигматитовых — несколько ниже (86,9–93,5%).

Таблица 4. Состав щелочных полевых шпатов альбититовых месторождений

| | Si | Al | Ca | Na | K | X | Z | Состав ЩПШ |
|-----------|-------|------|------|------|------|------|-------|--|
| Олигоклаз | | | | | | | | |
| 481 | 16,83 | 6,93 | 0,87 | 3,93 | 0,57 | 5,37 | 23,76 | $\text{Ab}_{73,2} \text{An}_{16,2} \text{Or}_{10,6}$ |
| Микроклин | | | | | | | | |
| 16 | 15,82 | 6,76 | 0,18 | 1,84 | 3,54 | 5,56 | 22,58 | $\text{Or}_{63,7} \text{Ab}_{33,1} \text{An}_{3,2}$ |
| 67 | 16,21 | 6,66 | 0,14 | 1,50 | 3,54 | 5,18 | 22,86 | $\text{Or}_{68,3} \text{Ab}_{29,0} \text{An}_{2,7}$ |
| 84 | 15,76 | 6,85 | 0,07 | 1,64 | 3,51 | 5,22 | 22,61 | $\text{Or}_{67,2} \text{Ab}_{31,4} \text{An}_{1,4}$ |
| 220 | 16,94 | 6,10 | 0,05 | 0,94 | 3,75 | 4,74 | 23,04 | $\text{Or}_{79,1} \text{Ab}_{19,8} \text{An}_{1,1}$ |
| 226 | 15,50 | 6,59 | 0,27 | 0,86 | 4,34 | 5,47 | 22,09 | $\text{Or}_{79,3} \text{Ab}_{15,7} \text{An}_{5,0}$ |
| 258 | 15,83 | 6,66 | 0,10 | 1,96 | 3,48 | 5,54 | 22,49 | $\text{Or}_{62,8} \text{Ab}_{35,4} \text{An}_{1,8}$ |
| 266 | 16,26 | 6,47 | 0,05 | 1,88 | 3,65 | 5,58 | 22,73 | $\text{Or}_{65,4} \text{Ab}_{33,7} \text{An}_{0,9}$ |
| 311 | 16,28 | 6,69 | 0,04 | 1,56 | 3,54 | 5,14 | 22,97 | $\text{Or}_{68,9} \text{Ab}_{30,3} \text{An}_{0,8}$ |
| Альбит | | | | | | | | |
| 12 | 16,74 | 6,62 | 0,27 | 5,00 | 0,09 | 5,36 | 23,36 | $\text{Ab}_{93,3} \text{An}_{5,0} \text{Or}_{1,7}$ |
| 61 | 15,93 | 7,16 | 0,25 | 5,97 | 0,05 | 6,27 | 23,09 | $\text{Ab}_{95,2} \text{An}_{4,0} \text{Or}_{0,8}$ |
| 122 | 16,70 | 6,58 | 0,44 | 5,35 | 0,06 | 5,85 | 23,28 | $\text{Ab}_{91,5} \text{An}_{7,5} \text{Or}_{1,0}$ |
| 131 | 16,53 | 6,44 | 0,67 | 4,65 | 0,03 | 5,35 | 22,97 | $\text{Ab}_{86,9} \text{An}_{12,5} \text{Or}_{0,6}$ |
| 207 | 16,07 | 6,77 | 0,56 | 4,89 | 0,03 | 5,48 | 22,84 | $\text{Ab}_{89,2} \text{An}_{10,2} \text{Or}_{0,6}$ |
| 270 | 16,42 | 6,80 | 0,35 | 5,48 | 0,03 | 5,86 | 23,22 | $\text{Ab}_{93,5} \text{An}_{6,0} \text{Or}_{0,5}$ |
| 290 | 16,19 | 7,27 | 0,28 | 5,72 | 0,03 | 6,03 | 23,46 | $\text{Ab}_{94,8} \text{An}_{4,6} \text{Or}_{0,6}$ |
| 305 | 16,49 | 7,54 | 0,11 | 5,59 | 0,06 | 5,76 | 24,03 | $\text{Ab}_{97,1} \text{An}_{1,9} \text{Or}_{1,0}$ |

Примечание. Образцы 12–270 взяты на Севериновском, 290–481 — на Ватутинском месторождениях. Анализы выполнены в Центральной лаборатории ГГП «Кировгеология». Количество ионов в стандартном объеме в 1000 \AA^3 рассчитано атомно-объемным методом. Расчет формул полевых шпатов проведен по типу $\text{X}_4\text{Z}_{16}\text{O}_{32}$, где X — (K, Na, Ca); Z — (Si, Al). Содержание Ab, An и Or соответствует мол.%. [10].

Особенности химического состава щелочных полевых шпатов согласуются с петрографическими наблюдениями: альбит замещает микроклин по краям зерен, не проникая в середину. Тем самым подтверждается выше отмеченное преимущественное развитие этого процесса по плагиоклазам. Вместе с тем, натриевый метасоматоз легче протекает по гранитам, по сравнению с мигматитами.

Усредненные формулы изученных полевых шпатов представляются следующими:



В составе олигоклаза наблюдаются наибольшие отклонения от стехиометрического соотношения элементов обеих групп: в сторону дефицита щелочей и кальция и отношения кремния и алюминия в пользу последнего. Эти отклонения естественно вытекают из отмеченной выше примеси в плагиоклазе калиевого полевого шпата, т.е. первая формула фактически характеризует твердый раствор плагиоклаз-ортоклаз. Формульный состав микроклина также отличается от теоретического, хотя и в меньшей мере, и тоже дефицитом

щелочей относительно кремния и алюминия при калий-натриевом отношении, характерном для гранитоидов амфиболитовой фации. Ближе всего к стехиометрическому оказывается состав метасоматического альбита, но и для него (как и для других разновидностей полевых шпатов) кремниево-алюминиевое отношение в среднем смещено в пользу алюминия. Эти данные, по-видимому, свидетельствуют о сложности, многоактности процессов образования минералов.

В полевых шпатах также определены некоторые микропримеси (табл. 5), с одной стороны, отражающие процесс формирования уранового месторождения (уран, торий, радиогенный свинец), с другой, характерные именно для этой группы минералов (барий, рубидий, стронций и отчасти свинец).

Таблица 5. Содержание микроэлементов (г/т) в полевых шпатах альбититов

| № обр. | U | Th | Pb | Ba | Rb | Sr | Rb/Sr |
|---|-------|------|-----|------|-------|-------|-------|
| Олигоклаз с примесью микроклина и альбита | | | | | | | |
| 14 | 12,0 | 4,2 | 49 | — | 263,2 | 469,4 | 0,56 |
| 73 | 5,7 | <2 | 43 | — | 274,5 | 395,5 | 0,69 |
| 124 | 12,3 | 9,5 | 41 | — | 246,3 | 470,3 | 0,52 |
| Микроклин | | | | | | | |
| 16 | 9,4 | 4,0 | 41 | 630 | 341,4 | 253,3 | 1,35 |
| 18 | 11,9 | <2 | 63 | — | 298,1 | 292,5 | 1,02 |
| 67 | 11,5 | 5,3 | 34 | 2500 | 278,8 | 348,3 | 0,80 |
| 84 | 9,8 | 5,6 | 50 | 320 | 319,9 | 64,5 | 5,00 |
| 220 | 9,9 | 3,8 | 40 | 630 | 300,8 | 296,7 | 1,01 |
| 226 | 10,5 | <2 | 24 | 3200 | 307,2 | 255,5 | 1,20 |
| 258 | 9,1 | <2 | 7 | 200 | 309,1 | 66,7 | 4,63 |
| 266 | 27,0 | 3,9 | 47 | 120 | 350,6 | 32,6 | 10,75 |
| 311 | 6,6 | <2 | 49 | 630 | 311,3 | 212,9 | 1,46 |
| Альбит метасоматический | | | | | | | |
| 12 | 17,1 | <2 | 63 | 1200 | 3,3 | 101,3 | 0,03 |
| 61 | 7,1 | 4,4 | 9 | 120 | <2 | 94,9 | 0,01 |
| 121 | 2,7 | 2,3 | 8 | — | 3,6 | 79,6 | 0,04 |
| 122 | 37,8 | 8,2 | 18 | 400 | 4,3 | 161,4 | 0,03 |
| 131 | 904,2 | 3,1 | 435 | 200 | 13,9 | 155,4 | 0,09 |
| 162 | 322,8 | 7,7 | 91 | — | 13,5 | 99,9 | 0,14 |
| 207 | 4,6 | 8,8 | 3 | 120 | <2 | 186,7 | 0,005 |
| 270 | 169,7 | 37,2 | 52 | 250 | 3,3 | 124,4 | 0,03 |
| 290 | 40,5 | <2 | 5 | 500 | <2 | 95,0 | 0,01 |
| 305 | 46,4 | <2 | 39 | 1200 | <2 | 36,1 | 0,03 |

Примечание. Образцы 12–270 с Севериновского, 290–311 — с Ватутинского месторождений. Содержание урана, тория, свинца, рубидия и стронция определено на установке АРФ-6; количество бария спектральным методом.

Наиболее информативными для полевых шпатов изученных месторождений являются рубидий и стронций, а также рубидиево-стронциевое отношение. Рубидий, будучи геохимическим аналогом калия, характеризуется преимущественным накоплением в микроклине, где установлено устойчиво самое высокое его содержание (278,8–350,6 г/т). В плагиоклазе концентрация рубидия значительно снижается (246,3–274,5 г/т). В метасоматическом альбите количество его падает вплоть до значений ниже порога чувствительности анализа (<2–13,9 г/т). Стронций, как известно, связан с анортитовым (кальциевым) миналом.

Поэтому максимальная его концентрация присуща плагиоклазу (395,5–470,3 г/т). В микроклине содержание стронция неравномерное, но часто остается повышенным (32,6–348,3 г/т), особенно в образцах мигматитов и гранитов с повышенным количеством аортита. Альбит также характеризуется неравномерным распределением элемента (36,1–186,7 г/т). И здесь наибольшее его количество связано с аортитовым миналом, которого в альбите даже больше. Можно предположить, что первоначально весь стронций находился в плагиоклазе, но в результате метасоматического натриево-карбонатного процесса вошел в структуру карбонатов, при этом незначительная его часть осталась в структуре альбита. Отношение Rb/Sr позволяет уверенно различать эти три типа полевых шпатов: для олигоклаза оно составляет 0,52–0,69 (среднее по 3 образцам 0,59); для микроклина — 0,8–10,75 (по 9 образцам 1,54); для альбита — 0,005–0,09 (по 10 образцам 0,04).

Количество бария в щелочных полевых шпатах при неравномерном распределении, обусловленном, скорей всего, проявлением метасоматоза, более высокое в микроклине (120–3200, в среднем 1028,8 г/т) по сравнению с альбитом (120–1200, при среднем 498,8 г/т). Повышенные концентрации бария в наших образцах близки к значениям в щелочных полевых шпатах из гранитоидов центральной части щита (в частности, кировоградского типа), принадлежащих к амфиболитовой фации [9].

Учитывая геохимическую близость свинца к стронцию, можно предположить особенно активное вхождение обоих элементов в кристаллическую решетку плагиоклаза. Действительно, во всех образцах олигоклаза самой высокой концентрации стронция соответствует устойчиво повышенное количество свинца (41–49 г/т). В микроклине такое строгое соотношение нарушается. Снижение количества стронция может сопровождаться снижением содержания свинца — показателен в этом отношении образец 258 диафторированного аплит-пегматоидного гранита. Но, судя по другим образцам, содержание свинца может сохраняться на прежнем уровне или даже увеличиваться, «компенсируясь» радиогенной добавкой. В метасоматическом альбите, вблизи рудных зон или непосредственно в них, равновесие в этой паре элементов совершенно нарушается. При неравномерном уменьшении содержания стронция свинец либо почти полностью выносится (до 3–18 г/т), либо резко количественно возрастает (до 52–435 г/т) параллельно с накоплением урана (до промышленных концентраций), т.е. за счет радиогенной добавки. Например, содержание Pb²⁰⁶ в образце 131 составляет 86,0%.

Уран и торий в полевых шпатах не относятся к структурной примеси. Об этом свидетельствуют опубликованные данные относительно щелочных полевых шпатов урановорудных альбититов [2]: химический состав чистых микроклинов (90–100% Ог) и фазовый состав микроклин-перититов (15–35% Ab) не коррелирует с процессами уранового минералообразования. По нашим данным [12] уран присутствует в полевошпатовой матрице в различных формах: равномерно рассеянного, в той или иной степени диспергированного; сорбированного различными микровключениями преимущественно вторичных образований; изоморфно входящего в состав акцессорных минералов, а также (в урановых рудах) в виде собственно минералов урана. Торий почти не участвует в рудном процессе: входя в состав акцессориев, в основном монацита и циркона, он перераспределяется вместе с этими минералами.

Генетические особенности. Решетчатая двойниковая структура микроклина является следствием инверсии калиевого полевого шпата из моноклинной структуры санидина в триклиническую структуру микроклина. На это указывают реликтовый твид-ортоклаз (моноклинная фаза) и сохранившаяся местами шахматная структура микроклина. Важно подчеркнуть, что в составе щелочных полевых шпатов исследуемых объектов, в той или иной степени, проявлены все основные структурные составляющие кроссовера (в представлении В.С. Мельникова [4]), начиная с твид-ортоклаза, как промежуточной (метастабильной) фазы с локальным зарождением (наnano-уровне) центров триклинической Al/Si-упорядоченности. Затем в этом ряду твид-структура трансформируется в шахматную структуру с чередованием в шахматном порядке твид-ортоклаза и новообразованных триклинических доменов, причем в чистом виде шахматная структура не встречается.

В процессе дальнейшего преобразования последней формируется решетчатый микроклин с А/Р-структурой (альбит-периклиновым двойникованием), который в силу структурной неустойчивости периклиновой системы двойников переходит в А-структуру с альбитовым типом двойникования. В качестве заключительной фазы может возникнуть (и возникает, наряду с чистым альбитом) монодоменный несдвойниковый микроклин.

Обнаруженный в шлифах реликтовый ортоклаз, по всей вероятности, является высокотемпературным и относится к минералам ультраметаморфических гранитов, кристаллизация которых завершилась при температуре порядка 640–650° С [13]. Указанная температура сопоставима с данными термобарогеохимического изучения флюидных включений в ортоклазе [14] и расчета изотопно-кислородной ($\delta^{18}\text{O}$) системы калиевый полевой шпат-вода [3] Мичуринского и Севериновского месторождений альбититов (630–730° С). Инверсия же ортоклаза, содержащего не более 25% альбитового минала, как известно [5], происходит при 450–500° С.

Инверсионный репер находится в температурном интервале существования высокотемпературного водосодержащего флюида, с которым генетически связан постгранитизационный кремне-калиевый метасоматоз. На присутствие такого флюида указывает сам факт образования микроклина, поскольку трансформация ортоклаза в микроклин происходит только в водосодержащих системах амфиболитовой фации, тогда как в сухих условиях гранулитовой фации сохраняется ортоклаз. Несмотря на отнюдь нередкие случаи обнаружения ортоклаза и микроклина в одном кристалле, в том числе в наших образцах, ортоклаз можно считать индикатором сухой системы (гранулитовая фация), а микроклин — флюидонасыщенной (амфиболитовая фация) [5].

Формирование микроклина является процессом ретроградным по отношению к ультраметаморфическим гранито-мигматитам и аплит-пегматоидной лейкосоме. Именно с участками микроклинизации связано наиболее интенсивное проявление OH-содержащих темноцветных минералов: амфиболов, слюд, а также эпидота-клиноцизита и хлорита, с которых и начинается предальбититовый диафторез (хотя, по сути, микроклинизация сама по себе уже является процессом диафторическим). Факты особенной активизации диафтореза с образованием эпидота, хлорита, гематита, кварца, кальцита, сульфидов в связи с микроклинитами более чем очевидны и описаны для всех месторождений этого типа. Характерной является и ассоциация микроклин-мусковит. Все это вполне может служить доказательствами проявления (и воздействия на ортоклаз) водного флюида.

Отмеченное выше образование мирамекитового кварца также связывают с ранним постмагматическим флюидом. Косвенно связь инверсии ортоклаза в микроклин с повышением флюидонасыщенности системы подтверждается и тенденцией роста концентрации рубидия в калиевых полевых шпатах по мере увеличения в них роли микроклина (за счет трансформированного ортоклаза); такая связь установлена в разных районах, в том числе и на Украинском щите [5].

Судя по нашим исследованиям [6], температура гомогенизации газово-жидких включений в микроклине достигала 400–420° С, в существующем с микроклином кварце она могла быть и выше (410–465° С). Менее высокотемпературные включения в микроклине и кварце (230–300° С и ниже) относятся ко вторичным; они характеризуют более поздние процессы (диафторез, щелочной метасоматоз) и к микроклинизации отношения не имеет.

Региональное разрушение андезина связано с диафторезом плагиопород эдукта и сопровождалось освобождением и транспортировкой в зоны разгрузки (нередко это были контракционные трещины по периферии гранитизационных массивов) большого объема Na_2O , Al_2O_3 , SiO_2 , CaO , либо перераспределением этого материала. Таблица 2, в частности, демонстрирует изменение соотношения щелочей, кремния и алюминия, окисного и закисного железа при диафторезе исходных мигматитов. Во всяком случае, плагиоклаз в диафторитах меняет состав от андезин-олигоклаза до олигоклаз-альбита, хотя, безусловно, это еще не щелочной метасоматоз. Верхний предел температуры гомогенизации флюидных включений в диафторитовом кварце (260–280° С [6]) соответствует

приведенной выше температуре вторичных включений в более раннем микроклине. Этот температурный интервал можно принять как температуруdiaфторического изменения.

Можно сказать, что прогрессивные процессы (метаморфизм, гранитизация) и ранний кремнево-калиевый метасоматоз явились генераторами и «проявителем» флюидов, причем, не только в самих гранитно-купольных структурах (Новоконстантиновское месторождение в трахитоидных гранитах Новоукраинского массива), но и в западных и восточных их флангах (Севериновское и Ватутинское месторождения). Diaфториты же в регрессивных условиях могли служить своего рода «накопителем» как растворов, так и подвижных форм урана.

Собственно щелочной метасоматоз, судя по флюидным включениям в альбите-1, на разных объектах начинался в близких, но отнюдь не одинаковых температурных условиях [6]. Для Ватутинского месторождения установлены более высокие температуры (320–410° С при повышенном количестве газовой фазы — 30–50%). Альбититам Кировоградской зоны, включая Севериновское месторождение, присущи значения температуры от 300–320° С. Образование альбита-2 продуктивных, урановорудных ассоциаций на большинстве месторождений начиналось с температуры 240–260° С.

Альбитизация сопровождалась рекристаллизацией (*in situ*) OH-содержащих минералов diaфторитов: эпидот-клиноцизитового агрегата в чистый кристаллический эпидот, пеннина в рипидолит, а также формированием щелочных амфиболов — рибекита (+ эгирин) и затем слюдистых минералов — феррибиотита и флогопита, несдвойникованного калиевого полевого шпата совместно с альбитом-2 (+ анкерит, железистый кальцит, гематит, пирит). Перечисленные минералы связаны преимущественно с микроучастками межзернового катализма; к ним приурочена и основная масса урановых минералов.

Эволюция минералообразующей флюидной системы от высокотемпературной сингранитизационной до типично гидротермально-метасоматической, с которой генетически и связан урановорудный щелочной метасоматоз, подтверждается нашими изотопно-геохимическими исследованиями (табл. 6 [3]).

Таблица 6. Содержание и изотопные характеристики компонентов H₂O и CO₂ флюидных включений в полевых шпатах Севериновского и Ватутинского месторождений

| Компоненты | Параметры | K полевой шпат | Олигоклаз | Микроклин | Альбит |
|--|-----------|----------------|--------------|---------------|---------------|
| H ₂ O включений, вес. % | 1 | 0,160 (1) | 0,047 (1) | 0,062 (12) | 0,084 (10) |
| | 2 | — | — | 0,030-0,120 | 0,028-0,230 |
| CO ₂ включений, вес. % | 1 | — | 0,105 (2) | 0,046 (11) | 0,060 (9) |
| | 2 | — | 0,060-0,150 | 0,008-0,150 | 0,027-0,084 |
| $\delta^{18}\text{O}$ матрицы (минерала), ‰ | 1 | +8,0 (1) | +8,1 (7) | +7,7 (12) | +6,4 (10) |
| | 2 | — | +7,2...+10,3 | +5,2...+12,3 | +3,5...+9,0 |
| $\delta^{18}\text{O H}_2\text{O}$ включений, ‰ | 1 | +9,3 (2) | -4,7 (1) | -3,5 (4) | -1,9 (4) |
| | 2 | +8,6...+10,0 | — | -4,9...-1,5 | -3,1...-0,7 |
| $\delta\text{D H}_2\text{O}$ включений, ‰ | 1 | -70 (2) | -59 (1) | -55 (4) | -57 (4) |
| | 2 | -78...-63 | — | -71...-43 | -81...-38 |
| $\delta^{18}\text{O CO}_2$ включений, ‰ | 1 | +27,1 (1) | +33,1 (1) | +34,5 (4) | +30,0 (3) |
| | 2 | — | - | +32,1...+36,6 | +27,2...+33,2 |
| $\delta^{13}\text{C CO}_2$ включений, ‰ | 1 | -12,4 (1) | -6,2 (1) | -4,1 (4) | -11,8 (4) |
| | 2 | — | — | -5,7...-1,9 | -19,2...-3,2 |
| T°С расчетная | | 731,7 | 261,6 | 276,6 и ниже | 268,2 и ниже |

Примечание. 1 — средние значения. 2 — вариации. В скобках указано количество образцов. Изотопные определения полевых шпатов и флюидных включений в них выполнены Ю.Н. Демиховым. Анализ содержания H₂O и CO₂ в монофракциях минералов сделан методом протонного магнитного резонанса (ПМР) Л. Пасальской.

Наиболее высокая температура, полученная из расчета по $\Delta \delta^{18}\text{O}$ минерал – вода для одного образца калиевого полевого шпата (возможно, реликтового ортоклаза), составляет $731,7^\circ\text{C}$, что близко к температуре гомогенизации флюидных включений в раннем ортоклазе [14], образовавшемся в гранитах этой же тектоно-метасоматической зоны. Вода в этом образце, присутствующая в повышенном количестве (0,16%), по соотношению значений $\delta^{18}\text{O}$ и δD соответствует магматической или метаморфической.

Во всех остальных образцах вода флюида (в системе олигоклаз – микроклин – альбит) является метеорной ($\delta^{18}\text{O} -4,9\text{...}-0,7\text{\textperthousand}$; $\delta\text{D} -81\text{...}-38\text{\textperthousand}$), причем количество ее систематически увеличивается в приведенном ряду минералов. Изотопная температура практически одинакова для всех разновидностей полевых шпатов ($260\text{--}280^\circ\text{C}$ и ниже) и относится к интервалу, промежуточному между максимальной температурой гомогенизации флюидных включений в альбите-1 (собственно щелочной метасоматоз) и альбите-2 (продуктивные ассоциации), что совершенно естественно, учитывая методику изотопного анализа с разрушением образца.

Изменение в минералообразующей системе содержания углекислого газа и изотопного состава входящих в него углерода и кислорода согласуется с эволюцией минералообразующего флюида из существенно газового в газово-жидкий и существенно жидкий. Эта эволюция сопровождалась последовательным отложением графитовой и карбонатной составляющих в доальбититовый период и затем окислением графита и перераспределения карбонатов в процессе натриево-карбонатного метасоматоза.

Взаимосвязь ураногенеза и карбонатообразования очевидна и подтверждается анализом геохимических систем газово-жидких включений в полевых шпатах и кварце рудных зон [15]. Эти данные свидетельствуют о накоплении гидрокарбоната в растворе на последних стадиях рудообразования при температуре ниже 250°C ($120\text{--}240^\circ\text{C}$). При многократном замораживании и последующем оттаивании низкотемпературных включений удается вырастить кристаллы гидрокарбоната. Увеличивается и количество CO_2 в газовой фазе включений. Как правило, порогом «взрывания» углекислотных включений является температура $240\text{--}300^\circ\text{C}$ (плотность CO_2 равна 0.73 g/cm^3). Водно-солевые включения и включения с углекислым газом, принадлежащие к одному семейству (одного генезиса) гомогенизируются при температуре $180\text{--}200^\circ\text{C}$ и давлении $0.67\times 10^8\text{ Pa}$. При температуре $120\text{--}160^\circ\text{C}$ происходит гомогенизация водно-солевых, без примеси CO_2 , включений. Интервал $300\text{--}180^\circ\text{C}$, таким образом, может рассматриваться как температура начала и завершения разрушения уанил-карбонатных комплексов и рудоотложения. Действительно, по экспериментальным данным Г.Б. Наумова [16] и Р.П. Рафальского [17] уанил-карбонатные комплексы наиболее растворимы и устойчивы в щелочных и близнейтральных растворах при умеренно повышенной температуре ($250\text{--}300^\circ\text{C}$). При 200°C растворимость этих комплексов невелика и увеличивается с ростом парциального давления CO_2 .

Выводы

Исследование полевых шпатов альбититовых месторождений перехода натриево-кальциевые пластины — калиевые полевые шпаты — альбит позволяет отнести их к разным этапам минерализации: ультраметаморфическому, постгранитизационному и гидротермально-метасоматическому. Первый проявлен реликтовыми пластины (андезином и олигоклазом) и твид-ортоклазом, с температурой образования порядка $630\text{--}730^\circ\text{C}$ (не ниже 500°C). Второй представлен микроклин-пертитом, который, судя по содержанию альбитового минала, относится к амфиболитовой фации. Температура гомогенизации газово-жидких включений в микроклине достигала $400\text{--}420^\circ\text{C}$, в сосуществующем с микроклином кварце до 465°C (не выше $450\text{--}500^\circ\text{C}$). Третий включает в себя альбит двух генераций: крупнотаблитчатый альбит-1 (а также шахматный альбит) собственно альбититов с максимальной температурой гомогенизации флюидных включений $300\text{--}410^\circ\text{C}$ и мелкокристаллический и лейстовый альбит-2 рудных ассоциаций, начальная температура которых составляет $240\text{--}260^\circ\text{C}$. В этом температурном интервале система альбит — метеорная вода была близка к равновесной.

В калиевых полевых шпатах встречаются следующие структурные состояния их трансформации: реликтовый твид-ортоклаз — шахматная структура — решетчатый микроклин (A/P-структура) — A-структуре (двойникование по альбитовому закону) — монодоменный микроклин.

Химический состав микроклина отличается от теоретического дефицитом щелочей относительно кремния и алюминия при калий-натриевом отношении, характерном для гранитоидов амфиболитовой фации. Количество ортоклазовой молекулы изменяется от 62,8 до 79,1% с увеличением от гранитов к мигматитам, а количество альбитовой молекулы снижается от 35,4 до 15,7% при содержании анортита 0,8—5,0%. Состав метасоматического альбита оказывается близким к стехиометрическому; содержание альбита в нем равно 86,9—97,1%, анортита — 1,9—12,5%, ортоклаза — 0,5—1,7%.

Среди элементов-примесей, входящих в кристаллическую решетку щелочных полевых шпатов, характерными являются рубидий и стронций. Рубидий накапливается преимущественно в микроклине, резко количественно снижаясь в альбите. Стронций, в силу геохимической связи с анортитовым миналом, образует повышенные концентрации в плагиоклазах. Отношение Rb/Sr позволяет различать три типа полевых шпатов: для олигоклаза оно составляет 0,52—0,69; для микроклина — 0,8—10,75; для альбита — 0,005—0,09.

Уран и торий в полевошпатовой матрице не относятся к структурной примеси. Уран присутствует в различных формах: от равномерно рассеянного или входящего в качестве изоморфной примеси в акцессорные минералы (изначально присутствующего в минерале) до сорбированного микровключениями новообразований или образующего собственные минералы урана (наложенного). Торий, практически не участвуя в рудном процессе, входит в состав микровключений акцессориев, в основном монацита и циркона.

Пространственная связь месторождений урановорудных альбититов с породами амфиболитовой фации метаморфизма определена, по-видимому, условиями, благоприятными для формирования флюидной системы. Водный флюид оказывал катализирующее воздействие на процесс превращения твид-ортоклаза в микроклин. Состав и структурные особенности микроклина подчеркивают возможность генерации исходного (высокотемпературного) флюида в процессе раннего кремниево-калиевого метасоматоза.

Эволюция флюидной системы в процессе диафтореза сопровождалась увеличением подвижных форм урана с последующей его реализацией в щелочных натриево-карбонатных метасоматитах. Основу флюида в течение постгранитационного и гидротермально-метасоматического этапов составляла метеорная вода. Температурный интервал 300—180° С характеризует начало и завершение разрушения уранил-карбонатных комплексов и рудоотложения.

В заключение авторы считают своим долгом отметить, что в процессе работы над статьей пользовались консультациями В.С. Мельникова.

1. Генетические типы и закономерности размещения урановых месторождений Украины. Отв. ред. Белевцев Я.Н., Коваль В.Б.. Киев: Наук. Думка, 1995. — 396с.
2. Стариakov В.Г. Возможности метода определения структурных характеристик щелочных полевых шпатов по шести рефлексам порошковым // Минерал. журн., 1982. — № 4. — С. 90—94.
3. Фомин Ю. А., Демихов Ю. Н. Изотопный состав кислорода и водорода воды газово-жидких включений в полевых шпатах натриево-карбонатных метасоматитов докембрия // Докл. АН Украины. — Сер. Б. — 1990. — № 10. — С. 26—29.
4. Мельников В. С. Трансформация твид-структуры ортоклаза в решетчатый микроклин // Минерал. журн., 2005. — 27. — № 2. — С. 9—31.
5. Мельников В.С. Генетическое значение инверсионного перехода санидин/микроклин. 1. Флюидный фактор в трансформации двойниковой структуры щелочных полевых шпатов // Минерал. журн., 2009. — 31. — № 4. — С. 16—29.
6. Фомин Ю.А., Лазаренко Е.Е. Температурные условия формирования ураноносных альбититов Украинского щита // Доп. НАН України. — 2009. — № 8. — С. 120—126.
7. Бакаржиев А. Х., Коваль В. Б., Фомин Ю. А. и др. Эволюция уранового рудообразования в докембрии Украины // Минерал. журн. — 1997. — 19. — № 5. — С. 35—39.
8. Комаров А.Н., Черкашин Л.А. Редкометальные тектонометасоматические зоны Украинского щита. — Киев: Наук. Думка, 1991. — 180 с.
9. Усенко И.С., Рокачук Т.А., Крамаренко Н.К. и др. Щелочные полевые шпаты гранитоидов Украинского щита. — Киев: Наук. Думка, 1980. — 196 с.
10. Дир У.А., Хаи Р.А., Зусман Дж. Породообразующие минералы. Т. 4. — Москва: Мир, 1966. — 481 с.

11. Сендеров Э.Э., Яськин Г.М., Бычков А.М. Влияние щелочного раствора на упорядочение Al – Si в калиевом полевом шпате // Геохимия, 1975. — №12. — С. 1826–1826.
12. Фомин Ю.А., Демихов Ю.Н., Сущук Е. Г. Поведение урана в процессах эволюции альбититовых месторождений Кировоградского мегаблока // Доп. НАН України. — 2010. — № 1. — С. 131–137.
13. Щербаков И.Б. Петрология Украинского щита. — Львов: ЗУКЦ, 2005. — 366 с.
14. Гнатенко О.В. Температурные условия образования альбититов на одном из месторождений урана в докембрии // Геологич. журн., 1976. — 36. — Вып. 4. — С. 134–139.
15. Фомин Ю.А., Демихов Ю.Н., Лазаренко Е.Е. Модель эволюции рудообразующей флюидной системы Севериновского месторождения урана (Украинский щит) / Геохімія та екологія. Збірник наукових праць Інституту геохімії навколошнього середовища. — Київ, 2003. — Вип. 8. — С. 169–178.
16. Наумов Г.Б. Основы физико-химической модели уранового рудообразования. — Москва: Атомиздат, 1978. — 213 с.
17. Рафальский Р.П. Гидротермальные равновесия и процессы минералообразования. — Москва: Атомиздат, 1973. — 230 с.

Фомін Ю.О., Лазаренко О.Є. ЛУЖНІ ПОЛЬОВІ ШПАТИ УРАНОНОСНИХ АЛЬБІТИТІВ ЦЕНТРАЛЬНОЇ ЧАСТИНИ УКРАЇНСЬКОГО ЩИТА

Наведено дані мінералого-петрографічних, петро- і геохімічних, рентгеноструктурних, ізотопних та термобарогеохімічних досліджень польових шпатів Северинівського і Ватутінського родовищ уранорудних альбітитів. Розглянуто еволюцію мінералів у ряді Na-Ca плагіоклази (+ортоклаз) — мікроклін — альбіт в температурних умовах від 730–630 до 260–240° C.

Fomin Y., Lasarenko H. FELDSPARS OF URANIUM-BEARING ALBITITES OF THE CENTRAL PART OF UKRAINIAN SHIELD

The data of mineralogic-petrographic, petro- and geochemical, X-ray, isotopic and thermobarogeochical investigations of feldspars from Severinovsk and Vatutinsk uranium albitite deposits have been resulted. Evolution of the mineral row Na-Ca plagioclase (+orthoclase) — microcline — albite at the temperature conditions from 730–630 to 260–240° C have been considered.